

## II-77 水質の多変量解析による地下水流动の研究

熊本大学 工学部 正会員 神谷定子  
 熊本大学 工学部 正会員 中島重旗  
 熊本大学 工学部 正会員 神崎良久

1. はじめに 地下水を適切に管理・保全するために、地下水の実態を把握する調査研究が多方面から行われている。本研究では、水質データを適用し、そして水質の複雑な特徴を総合的に評価するために、多変量解析を用いて調査地域の地下水流动方向の解明を試みる。

2. 調査地域の概要 調査地域は、熊本市の東の台地で、熊本市をほぼ東西に貫流する白川の中流域である。調査地点を図-1に示すが、aは河川水であり、b～nは地下水である。

この地域は、先阿蘇火山岩類、御船層群を水理地質基盤岩とし、その上を覆う阿蘇火碎流堆積物や砥川溶岩を帶水層としている。図-1中A-A'における地質断面図を図-2に示す。

## 3. 多変量解析による地下水の分類

3-1) 水質分析 採水は1週間に1度の頻度で行った。分析の水温、EC、pHおよび $\text{HCO}_3^-$ は上水試験法に従い、また $\text{F}^-$ 、 $\text{Cl}^-$ 、 $\text{Na}^+$ 、 $\text{K}^+$ 、 $\text{Ca}^{2+}$ 、 $\text{Mg}^{2+}$ および $\text{SO}_4^{2-}$ はイオンクロマトグラフで行った。結果の一例を表-1に示す。

3-2) 地下水水質の流动による変化 一般的な性質として、地下水は流动するにつれて、 $\text{CO}_2$ が地質に作用して、 $\text{Na}^+$ 、 $\text{K}^+$ 、 $\text{Ca}^{2+}$ および $\text{Mg}^{2+}$ 等のイオンが増加し、 $\text{CO}_2$ は $\text{HCO}_3^-$ に変わる（溶出作用）。次に $\text{Ca}^{2+}$ および $\text{Mg}^{2+}$ が減少し、 $\text{Na}^+$ および $\text{K}^+$ が増加する（塩基交換作用）。

3-3) 主成分分析の適用 记号は、主要溶存イオンのうち $\text{HCO}_3^-$ 、 $\text{Na}^+$ 、 $\text{K}^+$ 、 $\text{Ca}^{2+}$ 、 $\text{Mg}^{2+}$ および $\text{SO}_4^{2-}$ に、 $\text{F}^-$ を加えた7項目とした。 $\text{Cl}^-$ は、人為的な影響が大きいと考えられるので削除した。また $\text{F}^-$ は、この調査地域において白川の涵養が考えられるので、白川の特徴を表現するために加えた。水質データは、時間の経過による変化を表すために、8月19日から10月14日までの8回の採水により得られた結果を用いた。主成分分析を行った結果を表-2及び図-3に示す。

ここで、主成分の数の決定は、累積寄与率が80%以上あるいは固有値が1以上という条件で行った。

表-2に主成分の固有ベクトル、固有値、寄与率を示す。前記の条件より第2主成分までを考慮した。第1主成分 $Z_1$ （以後 $Z_1$ と表示）の固有ベクトルは、いずれも正の値を示し、どの成分も増加に寄与している。これより $Z_1$ は、3-2)に述べた溶出作用を表していると考えられる。第2主成分 $Z_2$ （以後 $Z_2$ と表示）の固

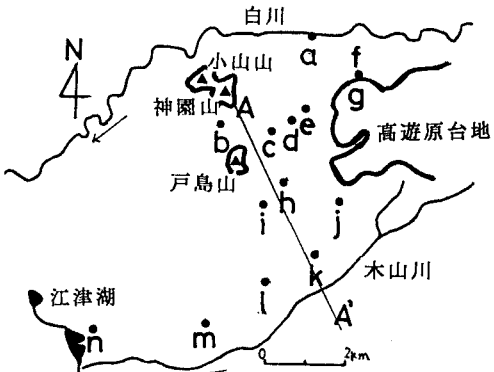
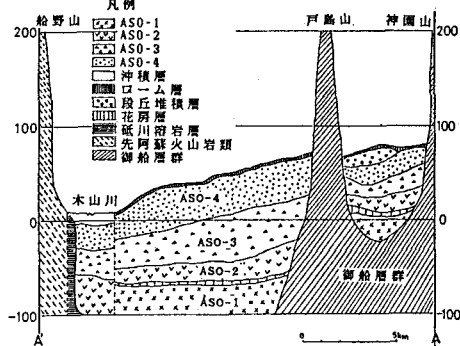


図-1 調査地点

図-2 地質断面図<sup>1)</sup>

地点	水温	電導率	$\text{F}^-$	$\text{HCO}_3^-$	$\text{Cl}^-$	$\text{Na}^+$	$\text{K}^+$	$\text{Ca}^{2+}$	$\text{Mg}^{2+}$	$\text{SO}_4^{2-}$	水温	
											[度]	[μmho/cm]
a	20.3	149	7.70	32.94	0.35	5.59	3.61	11.21	5.71	32.57		
b	19.6	254	7.30	94.06	0.13	13.92	10.71	4.95	28.43	6.70	29.53	
c	18.8	187	7.30	58.56	0.12	10.56	8.29	3.84	16.42	9.55	2.12	
d	19.4	173	6.90	76.86	0.25	8.46	9.54	4.19	12.05	4.81	16.67	
e	19.1	174	7.15	61.06	0.25	7.97	9.53	4.18	13.41	7.45	18.83	
f	19.3	177	7.15	62.83	0.19	7.18	16.02	4.21	13.53	7.70	22.43	
g	19.1	187	7.10	61.06	0.24	7.55	10.39	4.17	14.01	8.02	21.83	
h	20.7	202	7.20	61.24	0.25	7.73	10.02	4.08	13.81	7.48	22.00	
i	21.7	225	7.85	75.64	0.21	12.82	10.55	4.87	17.62	8.77	19.54	
j	20.6	173	7.25	53.19	0.29	7.58	8.61	5.20	21.42	6.95	9.71	
k	18.2	193	7.38	50.39	0.24	4.43	6.69	4.47	7.13	4.71	5.48	
l	18.8	149	7.10	55.02	0.24	5.99	8.62	4.06	10.61	6.25	16.31	
m	19.5	198	7.05	64.05	0.25	7.76	11.67	4.78	14.21	8.81	31.36	
n	19.4	184	6.90	62.46	0.24	7.59	10.82	4.41	13.61	7.97	24.31	

表-1 水質分析結果

有ベクトルは、 $F^-$ および $SO_4^{2-}$ が正の大きい値を示していることより、白川の地下水への影響度を表していると考えられる。

図-3に主成分得点による散布図を示す。実際は各地点につき8個の点が示されるが、ここでは8個の点を囲んで分布域として表示した。円内の点は各地点の平均値である。*c*および*d*を除いた地点の分布域は、小さくまとまっている。採水期間中、水質が一定していたと考えられる。また円内の点は、それぞれの分布域の中央部に位置している。これより*c*および*d*を除いた地点については、平均値による主成分得点で代表させて良いと判断し、この主成分得点にクラスター分析を適用した。結果を図-4に示す。縦軸は非類似度としてユークリッド距離を表している。図中のO-Oで切ると4つのグループに分けられた。しかし、*i*は3のグループに含まれているが、図-3上で*b*と近く白川の影響が小さい。また表-1より*C1-*が3の他の地点と比べ多いことより、*i*は2のグループに属すると判断した。

4、多変量解析による地下水流动方向の検討 図-4より*e*, *f*, *g*, *h*, *m*および*n*は流动経路が同じであると考えられる。そこでこの地点における流动方向の検討を行った。

4-1) 主成分分析の適用 変量は、溶出作用及び塩基交換作用を表すと考えられる $Na^+$ ,  $K^+$ ,  $HCO_3^-$ ,  $Ca^{2+}$ , および $Mg^{2+}$ の5項目とした。また水質データは、各地点の8月19日から11月11日までの13回の採水で得られた結果を用いた。主成分分析の結果を表-3および図-5に示す。3-3)に述べた条件により第2主成分まで考慮した。固有ベクトルより $Z_1$ は溶出作用、 $Z_2$ は塩基交換作用を表していると考えられる。図-5において、 $Z_1$ 軸は右に行くほど溶出作用が進み、 $Z_2$ 軸は下に行くほど塩基交換作用が進んでいると考えられる。

つまり地下水は流动するにつれて、散布図上では左上から右下に向かうと考えられる。ここで*f*と*g*は同じ地点である。*h*は*g*から流入していると考えると、溶出作用の進行度が低い。また*e*から流入していると考えると塩基交換作用の進行度が低い。これより*h*の地下水は、*g*と*e*の地下水が混合したものだと考えられる。つまり地下水は、*f*・*g*→*h*→*n*, *e*→*h*→*n*と流动していると考えられた。

5、まとめ 多変量解析により地下水を分類し、さらに主成分分析の $Z_1$ 軸、 $Z_2$ 軸に対する位置関係から地下水の流动方向を求めた。

参考文献 1)熊本県・熊本市:熊本地域地下水調査報告書、1986年

2)永井茂:地盤沈下地帯における地下水の水化学的研究、工業用水、昭和60年、P.23-P.34

	$HCO_3^-$	$F^-$	$Na^+$	$K^+$	$Ca^{2+}$	$Mg^{2+}$	固有値	寄与率	累積
$Z_1$	0.26	0.25	0.44	0.32	0.42	0.46	0.44	3.42	49%
$Z_2$	-0.62	0.58	0.17	0.06	-0.38	-0.13	0.30	1.84	26%

表-2 主成分の固有ベクトルと固有値及び寄与率

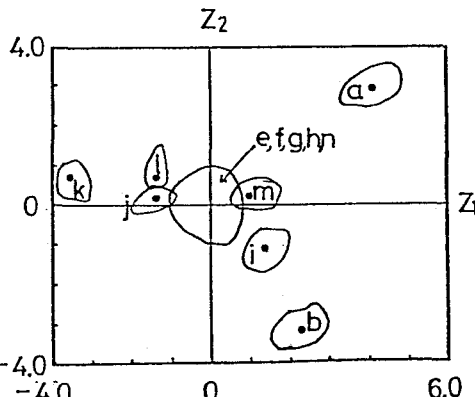


図-3 主成分得点による散布図

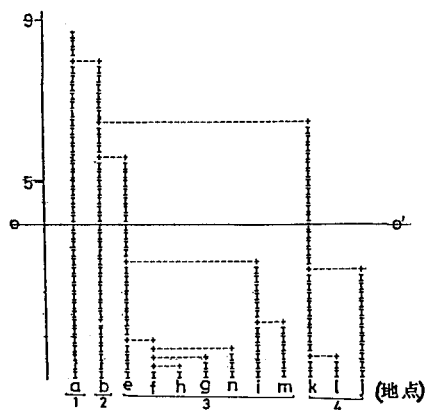


図-4 デンドログラム

	$HCO_3^-$	$Na^+$	$K^+$	$Ca^{2+}$	$Mg^{2+}$	固有値	寄与率	累積
$Z_1$	0.15	0.60	0.55	0.25	0.50	1.93	39%	39%
$Z_2$	0.64	-0.24	-0.33	0.64	0.13	1.65	33%	72%

表-3 主成分の固有ベクトルと固有値及び寄与率

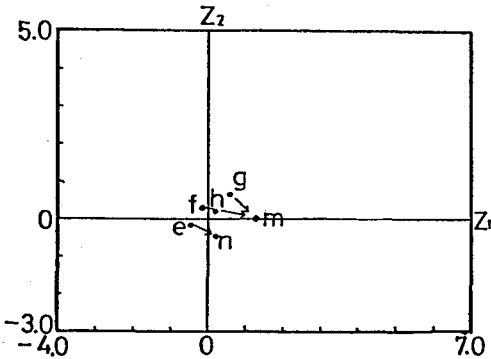


図-5 主成分得点による散布図